

## Hipotesis de escala f(z)



侍

## Hipotesis de escala

$$|p - p_c|^{1/\sigma} s$$

Relaciones de escala que tenemos

- a)  $n_s \propto s^{-\tau} \exp(-cte |p - p_c| s)$  (suposicion)
- b)  $n_s \propto s^{-\tau} \exp(-cte (p - p_c) s^\sigma)$  (tipo Fisher con  $s^\sigma$ )

Podemos poner ambas en la forma

$$\frac{n_s}{n_s(p_c)} = f(z); \text{ con } z = (p - p_c) s^\sigma$$

para  $p \sim p_c$  y  $s \rightarrow \infty$ .

Entonces queda

$$n_s \propto s^{-\tau} f[(p - p_c) s^\sigma]$$

## Propiedades de esta solución (comportamiento de f)

$$n_s \propto s^{-\tau} f[(p - p_c) s^\sigma]$$

el limite de una dimension:

$$n_s = p^2 (1-p)^2$$

identificamos z

$$\text{como } (p - p_c) s^\sigma = z, \text{ con } \sigma = 1 \text{ y } p_c = 1 \Rightarrow z = (p - 1) s$$

a) con  $[z^2 s^{-2}] = (1-p)^2 s^2 s^{-2} = (1-p)^2$  tengo uno de los factores

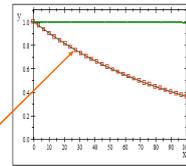
b) falta el  $p^2$

$$\text{sea } x = (1-p) \Rightarrow z = -xs$$

$$\ln(\exp(-xs)) \rightarrow -xs$$

$$\ln(p^2) = s(\ln(1-x)) = (-x - \frac{1}{2}x^2 - \frac{1}{3}x^3 - \frac{1}{4}x^4 - \frac{1}{5}x^5 - \frac{1}{6}x^6 - \frac{1}{7}x^7 - \frac{1}{8}x^8 - \frac{1}{9}x^9 - \frac{1}{10}x^{10} + O(x^{11}))s$$

$$\text{si } x \rightarrow 0 \text{ queda } : \ln(p^2) \approx -xs \Rightarrow p^2 \rightarrow e^{-xs}$$



$0.99^x$  (azul),  $\exp(-0.01x)$  (rojo),  $[0.99^x]/[\exp(-0.01x)]$  (verde)

O sea que lo escribimos como  $n_s = [z^2 s^{-2}] \exp(z)$ , resultando  $\tau = 2$

$$\sigma = 1$$

$$n_s = [z^2 s^{-2}] \exp(z) = s^{-2} [z^2 \exp(z)] = s^{-2} [f(z)]$$

### Comportamiento arriba y abajo punto critico

No queremos que exista cluster percolante debajo de  $p_c$ .

Haciendo la misma cuenta usual

$$\text{con } z = (p - p_c)s^\sigma \Rightarrow dz = \sigma z ds/s$$

$$\Rightarrow s = z^{1/\sigma}(p - p_c)^{-1/\sigma}$$

$$z = (p - p_c)s^\sigma \Rightarrow s = [z/(p - p_c)]^{1/\sigma} = [z/p - p_c]^{1/\sigma}$$

$$dz = (p - p_c)\sigma s^{\sigma-1} ds \Rightarrow ds = dz/[(p - p_c)\sigma s^{\sigma-1}]$$

ATENCIÓN las integrales se hacen  
 a) entre 0 y  $\infty$  para  $p > p_c$   
 b) entre 0 y  $-\infty$  para  $p < p_c$   
 de allí los modulus

$$P = p - \sum_s n_s s + \sum_s n_s(p_c)s - p_c$$

$$-P = \left[ \sum_s n_s s - \sum_s n_s(p_c)s \right] - [p - p_c]$$

$$-P = \sum_s [n_s(p) - n_s(p_c)]s + O(p - p_c)$$

$$= \int s^{1-\tau} [f(z) - f(0)] ds$$

$$= \int z^{(2-\tau)/\sigma} [(p - p_c)]^{-(2-\tau)/\sigma} \frac{1}{z} [f(z) - f(0)] dz/\sigma$$

$$= [(p - p_c)]^{(1-\tau)/\sigma} \int |z|^{-1+(2-\tau)/\sigma} [f(z) - f(0)] dz/\sigma$$

Como  $\beta = (\tau - 2)/\sigma$  y  $\gamma = (3 - \tau)/\sigma$  obtenemos que  $\beta + \gamma = 1/\sigma$

reemplazando obtenemos  $-P = (\beta + \gamma)(p - p_c)^\beta \int z^{-1-\beta} [f(z) - f(0)] dz$

La integral se hace en el rango  $[0, \infty]$  para  $p > p_c$  ( $z > 0$ ) y  $[0, -\infty]$  para  $p < p_c$  ( $z < 0$ )

Entonces  $f(z)$  debe ser tal que cuando  $z > 0 \rightarrow P \neq 0$

Tambien,  $f(z)$  debe ser tal que cuando  $z < 0 \rightarrow P = 0$  y por lo tanto  $\int z^{-1+(2-\tau)/\sigma} [f(z) - f(0)] dz = 0$

o tambien  $\int z^{-(2-\tau)/\sigma} \frac{[f(z)-f(0)]}{z} dz$  o tambien  $\int z^{-(2-\tau)/\sigma} \frac{df(z)}{dz} dz = 0$

$f(-\infty) \rightarrow 0$  (pues corresponde a  $p < p_c$  con  $s$  grande), si  $f(z)$  crece desde 0 no puede ser siempre creciente pues para que se anule la integral debera "oscilar" alrededor de  $f(0)$ .

Ademas  $f(0)=1 \leftarrow$  en  $p_c$  tenemos una powerlaw

$$z = (p - p_c)s^\sigma$$

Se ha demostrado de  $f(z)$  tiene un solo maximo.

Sea este maximo  $z_{\max}$  y sea  $f(z_{\max}) = f_{\max} \Rightarrow f(z) < f_{\max} \forall z \neq z_{\max}$

Entonces dado  $n_s \propto s^{-\tau} f(z)$  si fijo el valor de  $s$  existira un maximo de  $n_s$  en  $p_{\max}$  que corresponde a (por debajo de  $p_c$ )

$$z_{\max} = (p_{\max} - p_c)s^\sigma \Rightarrow p_{\max} = p_c + z_{\max}s^{-\sigma}$$

Para cada  $s$

O tambien :

$$p_{\max} - p_c = z_{\max} S^\sigma$$

$$p_{\max} - p_c = \mathcal{E}_{\max}$$

$$\mathcal{E}_{\max} = z_{\max} S^\sigma$$

PHYSICAL REVIEW C, VOLUME 62, 064803  
 Statistical signatures of critical behavior in small systems  
 J. B. Efton,<sup>1</sup> S. Albers,<sup>2</sup> F. Bissini,<sup>2</sup> F. P. Brady,<sup>2</sup> Z. Cai,<sup>3</sup> D. A. Cohen,<sup>4</sup> A. D. Chao,<sup>5</sup> J. L. Clinton,<sup>6</sup> Y. Choi,<sup>1</sup>  
 S. Cook,<sup>1</sup> M. L. Glicks,<sup>1</sup> J. A. Hargreaves,<sup>7</sup> A. S. Hirsch,<sup>8</sup> F. H. Hofer,<sup>9</sup> A. Ibragimov,<sup>10</sup> M. Jaster,<sup>11</sup> D. Kerner,<sup>12</sup> C. Kerner,<sup>13</sup>  
 V. Lindemann,<sup>14</sup> M. A. Lisa,<sup>15</sup> H. S. Mann,<sup>16</sup> M. McMahon,<sup>17</sup> C. McPherson,<sup>18</sup> W. F. J. Müller,<sup>19</sup> D. L. Olson,<sup>20</sup>  
 M. D. Partel,<sup>21</sup> N. T. Paudyal,<sup>22</sup> R. Pfeiffer,<sup>23</sup> G. Rini,<sup>24</sup> J. Romo-Abad,<sup>25</sup> H. G. Röpke,<sup>26</sup> J. Ruzsicki,<sup>27</sup> J. L. Ryan,<sup>28</sup> G. Y. Sato,<sup>29</sup>  
 H. Sato,<sup>30</sup> R. P. Scharenberg,<sup>31</sup> A. Scott,<sup>32</sup> Y. Shao,<sup>33</sup> B. K. Srivastava,<sup>34</sup> T. J. M. Symons,<sup>35</sup> M. Tassakel,<sup>36</sup> C. Toriz,<sup>37</sup>  
 S. Wang,<sup>38</sup> P. G. Warren,<sup>39</sup> H. H. Wimmer,<sup>40</sup> T. Winkler,<sup>41</sup> and K. Wolf<sup>42</sup>

como  $\mathcal{E}_{\max}$  es el valor del parametro de control para el cual la "produccion" de clusters de tamaño s es maximo tenemos que esta relacionado con s via una simple power law

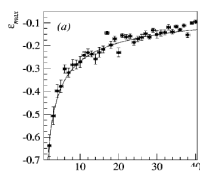


FIG. 18. Results of the  $\sigma$  extraction procedure for (a) percolation as a function of  $p_c$ , (b) perco-

Tambien

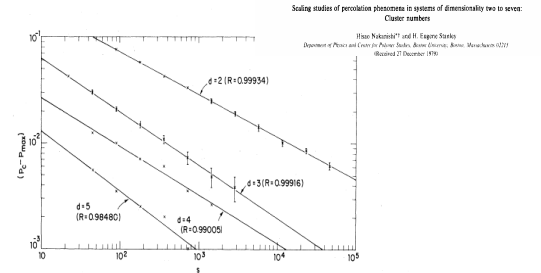


FIG. 2. Test of scaling for the maxima of  $n_s$  curves for  $d=2, 3, 4$ , and  $5$ . The error bars included for  $d=2$  and  $3$  are those associated with finding  $p_{\max}$  on the  $n_s$  curves, not including the errors in each point on these same curves.

In two dimensions, we obtain in this way  $p_c^{\text{eff}} = 0.50115$  for the bond problem on the square lattice (where  $p_c = 0.5$  exactly), and the fitted line gives  $(p_c^{\text{eff}} - p_{\max}) s^{0.40021010} = 0.458 \pm 0.03 \quad (2.6a)$

Por otro lado tenemos que

$$n_s(\mathcal{E}) = q_0 s^{-\tau} f(z)$$

De donde

$$\frac{n_s(\mathcal{E})}{q_0 s^{-\tau}} = f(z)$$

Un maximo

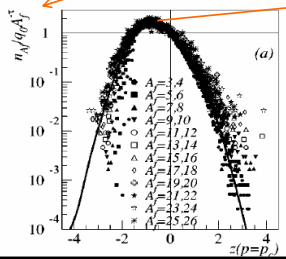


FIG. 19. Results of the scaling function analysis with the critical point equal to the value as determined from the Fisher  $\tau$ -power-law analysis for (a) percolation as a function of  $z(p_c)$ , (b) per-

"data collapse"

No queremos que existan divergencias en derivadas de  $p$

Supondremos tambien que  $f(z)$  es analitica (sus derivadas son finitas en todo punto)

Queremos recalcular  $\gamma$

Finalmente calculamos

$$S \propto \sum s^2 n_s$$

$$\propto \int s^{2-\tau} f(z) ds$$

$$\propto |p - p_c|^{-(\tau-3)\sigma} \int \dots$$

$$\propto |p - p_c|^{-(\tau-3)\sigma} = |p - p_c|^{-\gamma}$$

entonces

Los exponentes críticos son importantes porque no dependen de la estructura de la red y solo dependen de la dimensión.

El numero total de clusters se calcula del mismo modo

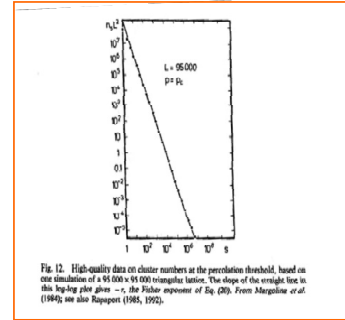
$$M_0 \propto |z|^{-\sigma}$$

Esto ha sido constatado en numerosos tests numericos  
 $f(z)$  se determina en general por analisis numerico.

## Tests numericos

Log-Log representacion de los numeros de fragmentos en el punto

critico para red triangular (95000X95000)



Si nos fijamos en la ecuacion de escala para los fragmentos

tenemos que

$$n_s \propto s^{-\sigma} f(z)$$

De donde  $[n_s(p)/n_s(p_c)] = f(z)$  con  $z = (p - p_c)s^\sigma$

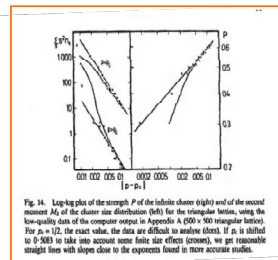
O sea que si tomo los cocientes para diferentes masas y grafico para  $z$  deberia obtener la "misma" curva

Esto se calculo y se grafico en rangos (32-63) (64-127) etc y efectivamente da.

Si se calcula  $P$  y  $M_2$  sabemos que se deben comportar como

$$P \propto (p - p_c)^\beta \text{ con } \beta = (r - 2)/\sigma$$

$$M_2 \propto |p - p_c|^{(r-1-2)/\sigma}$$



Como el data usado es para una red pequena si estudio el data como viene, no dan las rectas que espero, pero si admito que  $p_c = 0.5083$  (para tomar en cuenta los efectos de tamaño finito), da mas o menos bien.

Table 2. Percolation exponents for  $d=2,3,4,5,6-\epsilon$  and in the Bethe lattice together with the page number defining the exponent. Rational numbers give (presumably) exact results, whereas those with a decimal fraction are numerical estimates.

Exponent	$d=2$	$d=3$	$d=4$	$d=5$	$d=6-\epsilon$	Bethe	Page
$\alpha$	$-2/3$	$-0.62$	$-0.72$	$-0.86$	$-1 + \epsilon/7$	$-1$	39
$\beta$	$5/36$	$0.41$	$0.64$	$0.84$	$1 - \epsilon/7$	$1$	37
$\gamma$	$43/18$	$1.80$	$1.44$	$1.18$	$1 + \epsilon/7$	$1$	37
$r$	$4/3$	$0.88$	$0.68$	$0.57$	$1 + 5\epsilon/84$	$1/2$	60
$\nu$	$36/91$	$0.45$	$0.48$	$0.49$	$1 + O(\epsilon^2)$	$1/2$	35
$\tau$	$187/91$	$2.18$	$2.31$	$2.41$	$3 - 3\epsilon/14$	$5/2$	33
$D(p = p_c)$	$91/48$	$2.53$	$3.06$	$3.54$	$4 - 10\epsilon/21$	$4$	10
$D(p < p_c)$	$1.56$	$2$	$12/5$	$2.8$	$-$	$4$	62
$D(p > p_c)$	$2$	$3$	$4$	$5$	$-$	$4$	62
$\chi(p < p_c)$	$1$	$1$	$1$	$1$	$-$	$1$	56
$\chi(p > p_c)$	$1/2$	$3/3$	$3/4$	$4/5$	$-$	$1$	56
$\theta(p < p_c)$	$1$	$3/2$	$1.9$	$2.2$	$-$	$5/2$	54
$\theta(p > p_c)$	$5/4$	$-1/9$	$1/8$	$-449/450$	$-$	$5/2$	54
$f_{min}$	$5.0$	$1.6$	$1.4$	$1.1$	$-$	$1$	42
$\nu$	$1.30$	$2.0$	$2.4$	$2.7$	$3 - 5\epsilon/21$	$3$	91
$s$	$1.30$	$0.73$	$0.4$	$0.1_6$	$-$	$0$	93
$D_{th}$	$1.6$	$1.7_4$	$1.9$	$2.0$	$2 + \epsilon/21$	$2$	95
$D_{th}(p = p_c)$	$1.13$	$1.34$	$1.5$	$1.8$	$2 - \epsilon/6$	$2$	97
$D_{th}(p < p_c)$	$1.17$	$1.36$	$1.5$	$-$	$-$	$2$	98
$D_{th}(p > p_c)$	$1.4$	$1.6$	$1.7$	$1.9$	$2 - \epsilon/42$	$2$	97

For the exponents at  $p_c$ , the Bethe lattice values are exact at  $d \geq 6$ . A dash means that 6 is not the upper critical dimension for the  $\epsilon$ -expansion.

## El numero de clusters lejos de $p_c$

Por debajo de  $p_c$

En esta region es apropiado pensar que el numero de clusters es exponencial.

$$\ln n_s \propto -s \quad (s \rightarrow \infty, p < p_c)$$

Lo cual es consistente con la aproximacion de Fisher.

(S finito)

Por otro lado tenemos que el comportamiento de los lattice animals

es del tipo  $g_s \propto s^{-\theta} cte^s$  de donde

$$\ln g_s \propto -\theta \ln s + s \ln cte \propto s \quad (s \rightarrow \infty)$$

luego va como  $cte^s$

Entonces como para  $p$  pequeño  $n_s(p \rightarrow 0) \propto s^{-\theta} p^s cte^s$  (esto es asi porque el termino  $(1-p)^s$  es del orden de 1 en  $p \sim 0$ ) el comportamiento exponencial es correcto.

## Por encima de $p_c$

En esta region

$$\ln n_s(p > p_c) \propto -s^{1-1/d}$$

Pero  $s^{1-1/d}$  es esencialmente la superficie de una esfera en  $d$  dimensiones, o sea que corresponden a estructuras compactas en promedio. Se supone que esto es valido para  $s$  grande

Si quiero cortar una esfera en  $p \gg p_c$  tendre que hacer  $(1-p)^i$  pero

$$i \propto r^2 \text{ o sea } (1-p)^{r^2} \Rightarrow n_s \propto \exp(-cte \cdot r^2) = \exp(-cte \cdot s^{1-1/d})$$